

El personal de la biblioteca tiene el objetivo de mantener informada a la comunidad del Centro. Por este medio les compartimos el material bibliográfico de reciente adquisición en las colecciones.

El boletín tiene una frecuencia mensual, y contendrá notas de las fuentes de información que ofrece la biblioteca a través del CONRICYT,

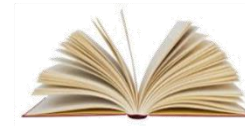


así como de las actividades que se realizan. El boletín se puede visualizar o descargar, desde el portal de la Biblioteca.

Confiamos en que la información sea de utilidad para sus labores de estudio e investigación que realiza dentro de las instalaciones del Centro.

Nota: La Biblioteca acató las disposiciones aplicables por la contingencia sanitaria del COVID-19, debido a lo anterior solo se ofreció acceso electrónico a las colecciones. A continuación, presentamos los artículos digitales obtenidos durante el mes de abril.

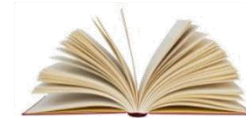
LIBROS



[Escalante Rebolledo, S., Vergara Yoisura, S. & Largué Saavedra, A. \(2020\).](#) **Las plantas de los libros sagrados mayas: Popol Vuh (Popol wuj) y Chilam Balam.** México Universidad Nacional Autónoma de México; Centro de Investigación Científica de Yucatán. 390 p. ISBN 9786073029063 UNAM -- 9786077823414 CICY. [304.209726 P53 2020] (2 ejemplares)

[Inzé D. \(Dirk\) ed.](#) **The cell cycle control and plant development** (1ª ed.). Oxford, UK; Ames, Iowa: Blackwell Pub.. xv, 364 p. ISBN 9781405150439 (alk. paper). [571.84929 C45 2007] (1 ejemplar)

TESIS



[Arceo Medina, G. \(2020\).](#) **Actividad acaricida de compuestos activos contenidos en Petiveria alliacea contra garrapatas Rhipicephalus microplus resistentes a ixodicidas [recurso electrónico].** Mérida, Yuc. [TD A72 2020] (1 ejemplar)

[Belman Flores, C. \(2020\).](#) **Síntesis y caracterización de partículas de N-isopropil acrilamida y ácido metacrílico para la obtención de nanogeles sensibles al PH [recurso electrónico].** Mérida, Yuc. [TM B455 2020] (1 ejemplar)

[Chan Poot, S. \(2020\).](#) **Determinación de ácido betulínico en plantas regeneradas a partir de raíces transformadas de hoja e hipocótilo de Pentalinon andrieuxii en floración [recurso electrónico].** Calkiní, Campeche. [TL C535 D4 2020] (1 ejemplar)

[Cohuo Chí, C. \(2020\).](#) **Análisis de carotenoides y prolina en tres variantes de achiote (Bixa Orellana) sometidas a estrés salino [recurso electrónico].** Mérida, Yuc. [TL C648 2020] (1 ejemplar)

[Correa Durán, M. \(2021\).](#) **Polimerización radicalica de copolímeros en bloque de 2-acrilamida-2metilpropano ácido sulfónico: entrecruzamiento y caracterización de membranas [recurso electrónico].** Mérida, Yuc. [TM C677 2021] (1 ejemplar)

[Evia Márquez, A. & Vázquez Quiroz, D. coaut. \(2020\).](#) **Embriogénesis somática en manzanas (Malus hupehensis) endémicas de Zacatlán. Zacatlán, Puebla.** [TL E853 M3 2020] (1 ejemplar)

Lizama Cime, R. (2020). **Caracterización molecular de poblaciones silvestres del frijol lima (*Phaseolus lunatus* L.) del centro-occidente de México [recurso electrónico]**. Tizimín, Yuc. [TL L593 2020] (1 ejemplar)

[Martín Pat, G. \(2020\)](#). **Estudio de la modificación superficial de un andamio de PGS con PPY-I utilizando plasma y su citotoxicidad con células tropicales de pulpa dental hDPSCs [recurso electrónico]**. Mérida, Yuc. [TD M3785 E8 2020] (1 ejemplar)

[Mayo Ruiz, D. \(2020\)](#). **Expresión génica y análisis morfológico de *Pseudocercospora fijiensis* cultivado en medio con diferente potencial de hidrógeno [recurso electrónico]**. Jalpa de Méndez, Tabasco. [TL M396 E8 2020] (1 ejemplar)

[Pacheco Huh, J. \(2020\)](#). **Interacciones ecológicas en poblaciones silvestres y cultivos de papaya (*Carica papaya*) en la península de Yucatán [recurso electrónico]**. Conkal, Yuc. [TL P3254 2020] (1 ejemplar)

[Quijano Mendoza, J. \(2020\)](#). **Elaboración de andamios electrohilados de gelatina para posible uso en ingeniería tisular en la piel [recurso electrónico]**. Mérida, Yuc. [TL Q8543 2020] (1 ejemplar)

DOCUMENTOS OBTENIDOS



Behr, J. M.; Irvine, S. A.; Thwin, C. S.; Shah, A. H.; Bae, M. C. K.; Zussman, E.; Venkatraman, S. **Matching Static and Dynamic Compliance of Small-Diameter Arteries, with Poly (lactide-co-caprolactone) Copolymers: In Vitro and In Vivo Studies**. *Macromolecular bioscience*. 20(3)p.1900234, 2020. [B-18458](#)

Santamaria, V.A.A.; Garcia, M.F.; Molimard, J.; Avril, S. **Characterization of chemoelastic effects in arteries using digital volume correlation and optical coherence tomography**. *Acta biomaterialia*. 102 p.127-137, 2020. [B-18459](#)

Simsa, R.; Vila, X. M.; Salzer, E.; Teuschl, A.; Jenndahl, L.; Bergh, N.; Fogelstrand, P. **Effect of fluid dynamics on decellularization efficacy and mechanical properties of blood vessels**. *Plos one*. 14.(8)p.e0220743, 2019. [B-18460](#)

Calfapietra, C.; Peñuelas, J.; Niinemets, J. **Urban plant physiology: adaptation-mitigation strategies under permanent stress**. *Trends in plant science*. 20(2)p.72-75, 2015. [B-18461](#)

Escobedo, F. J.; Kroeger, T.; Wagner, J. E. **Urban forests and pollution mitigation: Analyzing ecosystem services and disservices.** Environmental pollution. 159(8-9)p.2078-2087., 2011. [B-18462](#)

Lei, H.; Niu, T.; Song, H.; Bai, B.; Han, P.; Wang, Z.

Liu, A. **Comparative transcriptome profiling reveals differentially expressed genes involved in flavonoid biosynthesis between biennial and triennial Sophora flavescens.** Industrial Crops and Products. 161 p.113217, 2021. [B-18463](#)

Yigaimu, A.; Chang, J.; Hoji, A. Muhammad, T.

Yakup, B.; Yang, W.; Aihebaier, S. **A Simple Spectrofluorometric Method for the Determination of Total Auxin in Mung Bean Sprouts.** Journal of Analytical Chemistry, . 75(11)1 p.404-1407., 2020. [B-18464](#)

Cui, Q.; Xie, L.; Dong, C.; Gao, L.; Shang, Q. **Stage-specific events in tomato graft formation and the regulatory effects of auxin and cytokinin.** Plant Science. 304 p.110803., 2021. [B-18465](#)

P,rez-Pastrana, J.; Testillano, P. S.; Barany, I.; Canto-Flick, A.; Alvarez-Lopez, D.; Pijera-Fernández, G.; Santana-Buzzy, N. **Endogenous auxin accumulation/localization during zygotic and somatic embryogenesis of Capsicum chinense Jacq.** Journal of Plant Physiology. 258 p.153333, 2021. [B-18466](#)

Zheng, X.; Kuijer, H. N.; Al-Babili, S. **Carotenoid Biofortification of Crops in the CRISPR Era.** Trends in Biotechnology. p.https://doi.org/10.1016/j.tibtech.2020.12.003, 2020. [B-18467](#)

Paoletti, E. **Ozone and urban forests in Italy.** Environmental pollution. 157(5)1 p.506-1512, 2009. [B-18468](#)

Mohiuddin, M. M.; Salama, Y.; Schellhorn, H. E.; Golding, G. B. **Shotgun metagenomic sequencing reveals freshwater beach sands as reservoir of bacterial pathogens.** Water research. 115 p.360-369., 2017. [B-18469](#)

Chakraborty, J.; Sapkale, V.; Rajput, V.; Shah, M.; Kamble, S.; Dharne, M. **Shotgun metagenome guided exploration of anthropogenically driven resistomic hotspots within Lonar soda lake of India.** Ecotoxicology and environmental safety. 194 p.110443. , 2020. [B-18470](#)

Winters, A. D.; Marsh, T. L.; Brenden, T. O.;

Faisal, M. **Molecular characterization of bacterial communities associated with sediments in the Laurentian Great Lakes.** Journal of Great Lakes Research. 40(3)p.640-645, 2014. [B-18471](#)

Cui, Q.; Fang, T.; Huang, Y.; Dong, P.; Wang, H. **Evaluation of bacterial pathogen diversity, abundance and health risks in urban recreational water by amplicon next-generation sequencing and quantitative PCR.** Journal of Environmental Sciences. 57 p.137-149., 2017. [B-18472](#)

Chopyk, J.; Nasko, D. J.; Allard, S.; Callahan, M. T.; Bui, A.; Ferelli, A. M. C.; Sapkota, A. R. **Metagenomic analysis of bacterial and viral assemblages from a freshwater creek and irrigated field reveals temporal and spatial dynamics.** Science of the Total Environment. 706 p.135395, 2020. [B-18473](#)

Slavetinsky, C.; Kuhn, S.; Peschel, A. **Bacterial aminoacyl phospholipids-Biosynthesis and role in basic cellular processes and pathogenicity.** Biochimica et Biophysica Acta (BBA)-Molecular and Cell Biology of Lipids, . 1862(11)p.1310-1318., 2017. [B-18474](#)

Sproles, A. E.; Fields, F. J.; Smalley, T. N.; Le, C. H.; Badary, A.; Mayfield, S. P. **Recent advancements in the genetic engineering of microalgae.** Algal Research. 53 p.102158, 2021. [B-18475](#)

Pan, C.; Sretenovic, S.; Qi, Y. **CRISPR/dCas-mediated transcriptional and epigenetic regulation in plants.** Current Opinion in Plant Biology. 60 p.101980., 2021. [B-18476](#)

Dinkins, R. D.; Hancock, J.; Coe, B. L.; May, J. B.; Goodman, J. P.; Bass, W. T.; Zhu, H. **Isoflavone levels, nodulation and gene expression profiles of a CRISPR/Cas9 deletion mutant in the isoflavone synthase gene of red clover.** Plant Cell Reports. p.1-12., 2021. [B-18477](#)

Zameer, Z.; Mohsin, S.; Hasnain, A.; Maqbool, A.; Malik, K. A. **Influence of explant sources on in vitro callogenesis and re-generation in maize (Zea mays L.).** Pakistan Journal of Agricultural Research. 33(4)p.917-925., 2020. [B-18478](#)

Viele, B.; Ellingston, R.; Wang, D.; Park, Y.; Higgins, R.; Coleman, H. D. **Biotechnology for Biofuel Production.** Biotechnology for Biofuel Production. 82 p.383-403, 2020. [B-18479](#)

Ghosh, A.; Gamberdiev, A. U.; Debnath, S. C. **Tissue culture-induced DNA methylation in crop plants: a review.** Molecular Biology Reports. p.1-19., 2021. [B-18480](#)

Prentis, P. J.; Vesey, A.; Meyers, N. M.; Mather, P. B. **Genetic structuring of the stream lily *Helmholtzia glaberrima* (Philydraceae) within Toolona Creek, south-eastern Queensland.** Australian Journal of Botany. 52(2)p.201-207, 2004. [B-18481](#)

Ma, W.; Kang, X.; Liu, P.; Zhang, Y.; Lin, X.; Li, B.; Chen, Z. **The analysis of transcription factor CHB1 effects on caffeine accumulation in tea callus through CRISPR/Cas9 mediated gene editing.** Process Biochemistry., 101 p.304-311., 2021. [B-18482](#)

Juarez-Escobar, J.; Guerrero-Analco, J. A.; Zamora-Briseño, J. A.; Elizalde-Contreras, J. M.; Bautista-Valle, M. V.; Bojórquez-Velázquez, E.; Ruiz-May, E. **Tissue-specific proteome characterization of avocado seed during postharvest shelf life.** Journal of Proteomics., 235 p.104-112., 2021. [B-18483](#)

Sorvari, S.; Schieder, O. **Influence of sucrose and melibiose on barley anther cultures in starch media.** Plant Breeding. 99(2)p.164-171, 1987. [B-18484](#)

Herrera-Franco, P. J.; Valadez-González, A. **Properties of Fiber-Matrix Interfaces of Natural Fiber Composites.** Reference Module in Materials Science and Materials Engineering. p.10.1016/B978-0-12-819724-0.00012-4, 2021. [B-18485](#)

Monja-Mio, K. M.; Olvera-Casanova, D.; Herrera-Alamillo, M. μ.; Sánchez-Teyer, F. L.; Robert, M. L. **Comparison of conventional and temporary immersion systems on micropropagation (multiplication phase) of *Agave angustifolia* Haw. 'Bacanora'.** . 3 Biotech. 11(2)p.1-8, 2021. [B-18486](#)

Pasch, J. H.; Von Elbe, J. H. **Betanine stability in buffered solutions containing organic acids, metal cations, antioxidants, or sequestrants.** Journal of food Science. 44(1)p.72-75, 1979. [B-18487](#)

Kuusi, T.; Pyyälä, H.; Pippuri, A. **The effect of iron, tin, aluminium, and chromium on fading, discoloration, and precipitation in berry and red beet juices.** Zeitschrift für Lebensmittel-Untersuchung und Forschung. 163(3)p.196-202, 1977. [B-18488](#)

Niu, Y.; Chen, K. C.; He, T.; Yu, W.; Huang, S.; Xu, K. **Scaffolds from block polyurethanes based on poly (ϵ -caprolactone)(PCL)and poly (ethylene glycol)(PEG)for peripheral nerve regeneration.** Biomaterials. 35(14)p.4266-4277, 2014. [B-18489](#)

Niu, Y.; Li, L.; Chen, K. C.; Chen, F.; Liu, X.; Ye, J.; Xu, K. **Scaffolds from alternating block polyurethanes of poly (ϵ -caprolactone)and poly (ethylene glycol)with stimulation and guidance of nerve growth and better nerve repair than autograft.** Journal of biomedical materials research Part A. 103(7)p.2355-2364, 2015. [B-18490](#)

Gómez-Hernández, M.; Rodríguez-García, C. M.; Peraza-Echeverría, L.; Peraza-Sánchez, S. R.; Torres-Tapia, L. W.; Pérez-Brito, D.; Cauch-Rodríguez, J. V. **In vitro antifungal activity screening of beach-cast seaweeds collected in Yucatan, Mexico.** Journal of Applied Phycology. p.1-9, 2021. [B-18491](#)

Wang, T.; Guo, Q.; Mao, P. **Flavonoid accumulation during florescence in three Chrysanthemum morifolium Ramat cv.'Hangju'genotypes.** Biochemical Systematics and Ecology. 55 p.79-83, 2014. [B-18492](#)

Bulgarelli, M. A.; Shelef, L. A. **Effect of ethylenediaminetetraacetic acid (EDTA)on growth from spores of Bacillus cereus.** Journal of Food Science. 50(3)p.661-664., 1985. [B-18494](#)

iThenticate, es una herramienta que busca similitudes en los documentos con la finalidad de evitar el plagio. Solo sube tu artículo, tesis, libro y el programa lo comparará con millones de documentos contenidos en bases de datos y les dará el porcentaje de similitudes. Para mayor información te invitamos a participar en el taller de capacitación:

DIRECTORIO

Dr. Pedro Iván González Chi
Director General

M.S.C. Rosaura Martín Caro
Directora de Planeación y
Gestión

M.B.I.Sergio de Jesús Pérez
Encargado de biblioteca
Elaboración y diseño

El Boletín está dirigido a la comunidad académica del CICY, a fin de contribuir en la difusión de los recursos de información que apoyen las labores de investigación y formación de recursos humanos que se realizan. Es editado en el Departamento de Biblioteca del Centro de Investigación Científica de Yucatán, A.C. (CICY), Centro Público de Investigación CONACYT, con oficinas en Calle 43 No. 130 x 132 y 134 A, Col. Chuburná de Hidalgo, C.P. 97205, Mérida, Yucatán, México. Tel.: (999) 942-8330 ext. 430. Correo: ser@cicy.mx

Accede a los recursos electrónicos, en sitios externos al CICY, con

EL DESCUBRIDOR DE INFORMACIÓN



Con el empleo del descubridor de información puedes acceder a las colecciones digitales desde la comodidad de tu hogar, o de cualquier parte del mundo.

Dentro de las instalaciones del Centro realiza tu solicitud para el registro en la página del CONRICYT.

Instrucciones:

1. Escribe tus datos personales
2. Selecciona la institución
3. Los datos que están marcados con * son de carácter obligatorio
4. Selecciona la casilla: No soy un robot
5. Acepta los términos de acceso
6. Envía
7. Tu registro se ha completado
8. Recibirás en minutos tu clave de acceso, pero en un máximo de 15 días se activará tu nombre usuario y contraseña para su uso.

